

Repaso de Control Lineal

Pablo Monzón

Departamento de Sistemas y Control
Instituto de Ingeniería Eléctrica (IIE)
Facultad de Ingeniería-Universidad de la República
Uruguay

Análisis y control de sistemas no lineales
Primer semestre - 2023

Contenido

- 1 **Sistemas Lineales**
- 2 **Estabilidad**
- 3 **Controlabilidad y observabilidad**
- 4 **Control óptimo lineal**
- 5 **Diseño de controladores y observadores**
- 6 **Nyquist y KYP**

Bibliografía recomendada

Hay muchos!!!

- Linear Systems - Thomas Kailath;
- A Course in Robust Control Theory: A Convex Approach (Texts in Applied Mathematics) - Geir Dullerud, Fernando Paganini;
- Mathematical Control Theory: Deterministic Finite Dimensional Systems (Texts in Applied Mathematics, Vol. 6) - Eduardo Sontag

Sistemas Lineales

Descripción del sistema

$$\begin{cases} \dot{x} &= Ax + Bu \\ y &= Cx + Du \\ x(0) &= x_0 \end{cases}$$

- $x \in \mathcal{R}^n$ - estado del sistema;
- $u \in \mathcal{R}^m$ - entrada del sistema;
- $y \in \mathcal{R}^p$ - salida del sistema;
- $A_{n \times n}$, $B_{n \times m}$, $C_{p \times n}$ y $D_{p \times m}$ - matrices de dimensiones adecuadas;
- x_0 es la condición inicial.

Trayectorias del sistema

Trayectoria del estado ($\dot{x} = Ax + Bu$)

$$f^t(x_0) = e^{At}x_0 + \int_0^t e^{A(t-\tau)}.B.u(\tau)d\tau$$

Salida del sistema ($y = Cx + Du$)

$$y(t) = C.e^{At}x_0 + C. \int_0^t e^{A(t-\tau)}.B.u(\tau)d\tau + D.u(t)$$

Para entrada nula:

$$y(t) = y(t) = C.e^{At}x_0 \quad , \quad \text{respuesta propia}$$

Para condición inicial nula:

$$y(t) = C. \int_0^t e^{A(t-\tau)}.B.u(\tau)d\tau + D.u(t) \quad , \quad \text{respuesta forzada}$$

Respuesta al impulso y transferencia del sistema

Para **condiciones iniciales nulas**:

Respuesta al impulso $y(t) = C \cdot \int_0^t e^{A(t-\tau)} \cdot B \cdot u(\tau) d\tau + D \cdot u(t)$

$$y(t) = h(t) * u(t) \quad , \quad h(t) = Y(t) \cdot [C \cdot e^{At} \cdot B] + D \cdot \delta(t)$$

Matriz de *Transferencia* (haciendo la Transformada de Laplace)

$$Y(s) = H(s) \cdot U(s) \quad , \quad H(s) = C \cdot (sI - A)^{-1} \cdot B + D$$

$H(s)$ cociente de polinomios - matriz real racional.

Los polos de $H(s)$ están incluidos en los autovalores de A .

Grado de la transferencia

Máximo exponente presente en $H(s)$ (siempre es $\leq n$).

Sistemas SISO

Sistema SISO: una entrada - una salida ($m=p=1$)

$$H(s) = \frac{N(s)}{D(s)}, \quad D(s) = \det(sI - A)$$

$H(s)$ es una función escalar

$H(j\omega) = H(s)$ evaluada en el eje imaginario ($s = j\omega$), se denomina **respuesta en frecuencia** del sistema.

Respuesta de un sistema lineal a una entrada **sinusoidal**

- Consideremos una entrada sinusoidal pura $u(t) = A \sin(\omega_0 t)$.
- La respuesta en régimen del sistema lineal será de la forma

$$y(t) = A \cdot |H(j\omega_0)| \cdot \sin[\omega_0 t + \arg H(j\omega_0)]$$

- Para señales periódicas, usando la serie de Fourier:

$$u(t) = \sum_{n \in \mathbb{Z}} c_n(u) \cdot e^{jn\omega_0 t} \Rightarrow y(t) = \sum_{n \in \mathbb{Z}} c_n(u) \cdot H(jn\omega_0) \cdot e^{jn\omega_0 t}$$

Estabilidad

Estabilidad según Lyapunov

Es la estabilidad del estado. Se llama también estabilidad *interna*. Requiere que todos los autovalores de A tengan parte real negativa (A Hurwitz).

Estabilidad BIBO (entrada acotada - salida acotada)

Esencialmente, implica que *para toda entrada acotada, la respectiva salida es acotada*.

Requiere que todos los polos de $H(s)$ tengan parte real negativa.

Implicancias y equivalencias

La estabilidad interna implica la estabilidad BIBO.

La equivalencia se da si H es de grado n (máximo), lo que requiere que no haya cancelaciones de ceros y polos en $H(s) = \frac{N(s)}{D(s)}$.

Previo: Teorema de Cayley-Hamilton

- Denotemos por $p(\lambda)$ al polinomio característico de A :

$$p(\lambda) = \det(\lambda I - A) = \lambda^n + a_{n-1}\lambda^{n-1} + \dots + a_1\lambda + a_0$$

- El Teorema de Cayley-Hamilton dice que A anula su polinomio característico:

$$p(A) = A^n + a_{n-1}A^{n-1} + \dots + a_1A + a_0I = 0$$

- Algunas consecuencias:
 - $A^n = -\sum_{i=0}^{n-1} a_i A^i$ y cada potencia de A superior a n puede escribirse como combinación lineal de las $n - 1$ primeras.
 - Si existe la inversa de A , entonces A^{-1} también es combinación lineal de las $n - 1$ primeras potencias de A .
 - La matriz e^{At} también resulta ser combinación lineal de las $n - 1$ primeras potencias de A :

$$e^{At} = \sum_{i=0}^{\infty} \frac{(At)^i}{i!} = \sum_{i=0}^{n-1} \alpha_i(t) A^i$$

Controlabilidad

- $x_0 \in \mathcal{R}^n$ es un estado *controlable* en tiempo T dado si existe una entrada \tilde{u}_0 definida en el intervalo $[0, T]$ tal que $f^T(x_0) = 0$.

$$0 = e^{AT} \cdot x_0 + \int_0^T e^{A(T-\tau)} \cdot B \cdot \tilde{u}_0(\tau) d\tau$$

- Esto permite definir un conjunto de estados controlables que, por la linealidad, es un sub-espacio vectorial.
- El sistema es controlable si todo estado es controlable.
- El sistema es controlable \Leftrightarrow la siguiente matriz, denominada *Grammiano de controlabilidad*, tiene rango completo (n)

$$\mathcal{C} = [B \ AB \ A^2B \ \cdots \ A^{n-1}B] \quad (n \times nm)$$

Observabilidad

- $x_0 \in \mathcal{R}^n$ es un estado *observable* en tiempo T si, dado que el sistema se inicia en x_0 , si conocemos la entrada $u(t)$ y la salida respectiva $y(t)$ en el intervalo $[0, T]$, entonces es posible recuperar biunívocamente la condición inicial x_0 .
- Esto permite definir un conjunto de estados observables que, por la linealidad, es un sub-espacio vectorial.
- El sistema es observable si todo estado es observable.
- El sistema es observable \Leftrightarrow la siguiente matriz, denominada *Grammiano de observabilidad*, tiene rango completo (n)

$$\mathcal{O} = \begin{bmatrix} C \\ CA \\ CA^2 \\ \vdots \\ CA^{n-1} \end{bmatrix} \quad (np \times n)$$

Realizaciones controlables y observables

- Podemos describir un sistema tanto por su transferencia $H(s)$ como por sus matrices A, B, C, D .
- Dada $H(s)$, es posible encontrar infinitas *realizaciones* A, B, C, D tales que

$$H(s) = C(sI - A)^{-1}B + D$$

- La realización es controlable y observable \Leftrightarrow el orden de A coincide con el grado de H o, lo que es lo mismo, no hay cancelaciones cero-polo en la expresión de $H(s)$.
- Se dice que la realización es *minimal*.

Test PBH (Popov-Belevitch-Hautus)

- La pareja (A, B) es controlable \Leftrightarrow no existe un autovector **izquierdo** de A ortogonal a las columnas de B :

$$w \neq 0 \quad , \quad w^T A = \lambda w^T \quad , \quad w^T B = 0$$

- La pareja (C, A) es observable \Leftrightarrow no existe un autovector **derecho** de A ortogonal a las columnas de C :

$$v \neq 0 \quad , \quad Av = \lambda v \quad , \quad Cv = 0$$

- Aplicación: (C, A) observable \Leftrightarrow la identidad $Ce^{At}x = 0, \forall t \geq 0$ se da sólo para $x = 0$.

Control óptimo

Problema LQR de horizonte infinito

- Dada una condición inicial x_0 fija, y dos matrices $R > 0$ y $Q \geq 0$, definimos el problema del regulador cuadrático así:

$$\min_{u: \mathcal{R} \rightarrow \mathcal{R}^m} F(x_0, u) \quad , \quad \text{s.a. } \dot{x} = Ax + Bu$$

- (A, B) controlable y (C, A) observable.
- $F(x_0, u) = \int_0^\infty (x^T Q x + u^T R u) dt$
- Definimos

$$V(x_0) = \min_{u: \mathcal{R} \rightarrow \mathcal{R}^m} F(x_0, u)$$

- **Principio de optimalidad:**

$$V(x_0) = \min_{u: [0, t] \rightarrow \mathcal{R}^n} \int_0^t (x^T Q x + u^T R u) d\tau + V(f^t(x_0))$$

Control óptimo

Solución:

Se cumple lo siguiente:

- $V(x) = x^T P x$, con $P_{n \times n} > 0$, solución de la ecuación matricial de Riccati:

$$A^T P + P A - P B R^{-1} B^T P = -Q$$

- La solución óptima es una **realimentación de estados**:
 $u = -R^{-1} B^T P x$.
- La función V es de Lyapunov para el sistema realimentado.
- La ecuación de Riccati tiene solución numérica eficiente (LMI).
- Se puede usar la función `lqr.m` para diseñar un control estabilizante.

Diseño de controladores

- Objetivo: obtener un sistema realimentado estable:

$$\dot{x} = Ax + Bu \quad , \quad u = -Kx$$

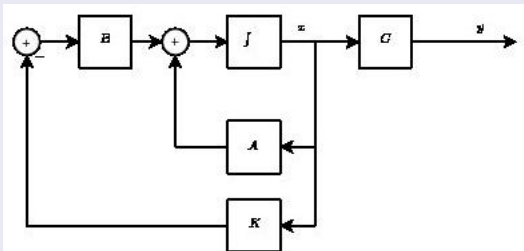
- En lazo cerrado, tenemos:

$$\dot{x} = (A - BK)x$$

- Debe ser $A - BK$ Hurwitz.
- Existe K tal que $A - BK$ es Hurwitz \Leftrightarrow el par (A, B) es controlable.
- El resultado es más fuerte: si (A, B) es controlable, podemos elegir K tal que los autovalores de $(A - BK)$ estén prácticamente donde queramos.

Diseño de controladores

Diagrama de bloques



Diseño de observadores

- Conociendo el sistema, queremos un **observador** para el sistema, es decir, un sistema auxiliar, al que excitaremos con la misma entrada que el original, pero que arrancará de una condición inicial distinta, definida por nosotros.
- Realimentamos la información de la salida del sistema auxiliar:

$$\dot{\tilde{x}} = A\tilde{x} + Bu + L(y - \tilde{y}) = \dot{\tilde{x}} = A\tilde{x} + Bu + LC(x - \tilde{x}) \quad , \quad \tilde{x}_0$$

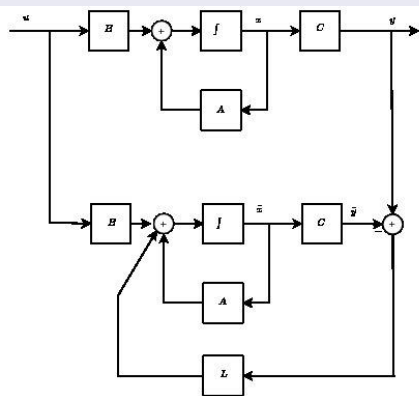
- Comparamos los respectivos estados. La dinámica del error $e = x - \tilde{x}$ es:

$$\dot{e} = \dot{x} - \dot{\tilde{x}} = (Ax + Bu) - (A\tilde{x} + Bu + LC(x - \tilde{x})) = (A - LC)e$$

- Para que el estado estimado por el observador converja al estado real, $(A - LC)$ debe ser Hurwitz.
- Existe L tal que $A - LC$ es Hurwitz \Leftrightarrow el par (C, A) es observable.

Diseño de observadores

Diagrama de bloques



Sistema completo

- Observamos que podemos diseñar de manera independiente el controlador (K) y el observador (L) (Principio de Separación).
- Realimentamos el estado estimado:

$$\dot{x} = Ax + Bu \quad , \quad u = -K\tilde{x}$$

- En lazo cerrado, tenemos lo siguiente:

$$\dot{x} = Ax - BK\tilde{x}$$

- La dinámica total tiene ahora dimensión $2n$:

$$\begin{cases} \dot{x} &= Ax + Bu \\ \dot{\tilde{x}} &= A\tilde{x} + Bu + L(y - \tilde{y}) \\ y &= Cx \\ \tilde{y} &= C\tilde{x} \\ u &= -K\tilde{x} \end{cases}$$

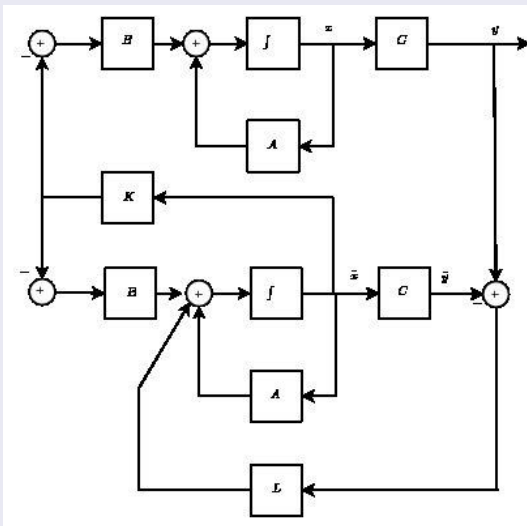
Sistema completo

Escrito de otra manera:

$$\begin{bmatrix} \dot{x} \\ \dot{\tilde{x}} \end{bmatrix} = \begin{bmatrix} A & -BK \\ LC & A - BK - LC \end{bmatrix} \begin{bmatrix} x \\ \tilde{x} \end{bmatrix} \Rightarrow \dot{z} = \tilde{A}z$$

Sistema completo

Diagrama de bloques



Controlabilidad y observabilidad

Son propiedades algebraicas

- Consideremos el sistema lineal:

$$\begin{cases} \dot{x} &= Ax + Bu \\ y &= Cx + Du \end{cases}$$

- Consideremos un cambio de variable invertible $\bar{x} = Tx$.
- Entonces:

$$\begin{cases} \dot{\bar{x}} &= T\dot{x} = TAx + TBu = TAT^{-1}\bar{x} + TBu \\ y &= Cx + Du = CT^{-1}\bar{x} + Du \end{cases}$$

- Podemos re-escribirlo así:

$$\begin{cases} \dot{\bar{x}} &= \bar{A}\bar{x} + \bar{B}u \\ y &= \bar{C}\bar{x} + \bar{D}u \end{cases}, \quad \begin{matrix} \bar{A} = TAT^{-1} \\ \bar{C} = CT^{-1} \end{matrix}, \quad \begin{matrix} \bar{B} = TB \\ \bar{D} = D \end{matrix}$$

A y \bar{A} semejantes!!

Controlabilidad y observabilidad

Son propiedades algebraicas

- Ambos sistemas tienen la **misma transferencia** y las mismas propiedades de controlabilidad y observabilidad.
- La clave es que los *Grammianos* verifican las relaciones:

$$\bar{C} = [\bar{B} \quad \bar{A}\bar{B} \quad \bar{A}^2\bar{B} \quad \dots \quad \bar{A}^{n-1}\bar{B}] = TC$$

$$\bar{O} = \begin{bmatrix} \bar{C} \\ \bar{C}\bar{A} \\ \bar{C}\bar{A}^2 \\ \vdots \\ \bar{C}\bar{A}^{n-1} \end{bmatrix} = OT^{-1}$$

- Se preserva el rango.

Controlabilidad y observabilidad

Formas canónicas

- Podemos buscar T particulares, que nos lleven a formas **canónicas** de la realización en variables de estado.
- (SISO) Si (A, B) es controlable, entonces existe T tal que

$$\bar{A} = \begin{bmatrix} 0 & 1 & 0 & \dots & 0 & 0 \\ 0 & 0 & 1 & \dots & 0 & 0 \\ \vdots & \vdots & & & \vdots & \\ 0 & 0 & 0 & \dots & 0 & 1 \\ -a_0 & -a_1 & -a_2 & \dots & -a_{n-2} & -a_{n-1} \end{bmatrix}, \quad \bar{B} = \begin{bmatrix} 0 \\ 0 \\ \vdots \\ 1 \end{bmatrix}$$

- $\det(\lambda I - A) = \det(\lambda I - \bar{A}) = \lambda^n + a_{n-1}\lambda^{n-1} + \dots + a_1\lambda + a_0.$

Formas canónicas

Controlador estabilizante

- La realimentación $u = \bar{K}\bar{x} = \bar{k}_1\bar{x}_1 + \bar{k}_2\bar{x}_2 + \dots + \bar{k}_n\bar{x}_n$ da lugar al sistema $\dot{\bar{x}} = (\bar{A} + \bar{B}\bar{K})\bar{x}$

$$\dot{\bar{x}} = \left[\bar{A} + \begin{bmatrix} 0 \\ 0 \\ \vdots \\ 1 \end{bmatrix} \begin{bmatrix} \bar{k}_1 & \bar{k}_2 & \dots & \bar{k}_n \end{bmatrix} \right] \bar{x}$$

Formas canónicas

Controlador estabilizante

- Obtenemos

$$\dot{\bar{x}} = \begin{bmatrix} 0 & 1 & 0 & \dots & 0 & 0 \\ 0 & 0 & 1 & \dots & 0 & 0 \\ \vdots & \vdots & & & \vdots & \\ 0 & 0 & 0 & \dots & 0 & 1 \\ \bar{k}_1 - a_0 & \bar{k}_2 - a_1 & \bar{k}_3 - a_2 & \dots & \bar{k}_{n-1} - a_{n-2} & \bar{k}_n - a_{n1} \end{bmatrix} \bar{x}$$

- Podemos elegir \bar{K} (y K) para ubicar los valores propios del sistema realimentado donde queramos.
- Algo similar sucede con la forma canónica observable y el diseño del observador.

Sistemas realimentados

Diagrama de Nyquist

- Si el sistema es SISO, la transferencia $G(s)$ es una función escalar. Se llama **contorno de Nyquist** al gráfico de $re [G(j\omega)]$ vs. $im [G(j\omega)]$:
- Es una manera gráfica de analizar la estabilidad del sistema realimentado de la figura, de transferencia $G_{CL}(s) = \frac{G(s)}{1+K \cdot G(s)}$.

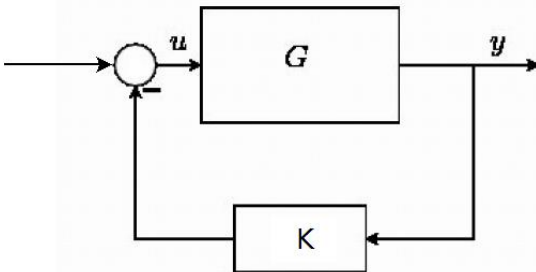
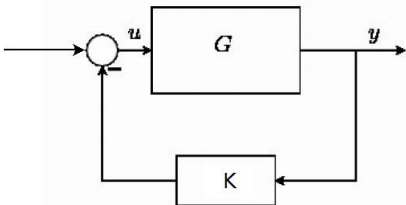


Diagrama de Nyquist



Definamos la transferencia desde la entrada \tilde{u} (sin nombre en la figura) y la salida y . Trabajemos en el dominio de Laplace: $G_{CL}(s) = \frac{Y(s)}{\tilde{U}(s)}$

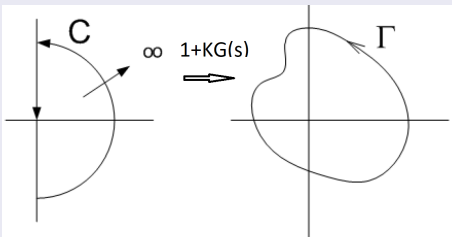
- $Y(s) = G(s) \cdot U(s)$, $U(s) = \tilde{U}(s) - K \cdot Y(s)$
- $Y(s) = G(s) \cdot [\tilde{U}(s) - K \cdot Y(s)] \Rightarrow [1 + KG(s)] \cdot Y(s) = G(s) \cdot \tilde{U}(s)$

$$\Rightarrow G_{CL}(s) = \frac{G(s)}{1 + KG(s)}$$

- Polos de $G_{CL}(s)$ = ceros de $1 + KG(s)$

Diagrama de Nyquist

Hay que ver los ceros de $1 + KG(s)$ en el semiplano derecho.
 Para ello usamos el *Principio del argumento* y lo aplicamos como sigue:



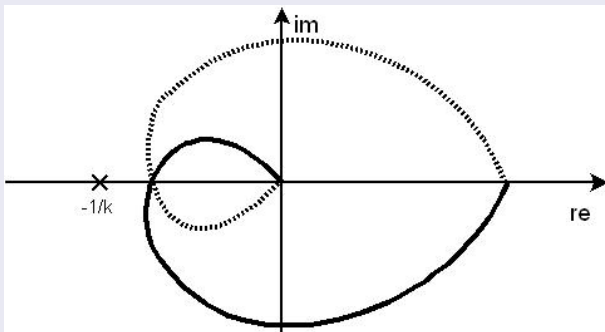
- Dibujamos una semicifa C , orientada, cuyo radio será arbitrariamente grande, para *barrer* el semiplano derecho.
- La mapeamos con $F(s) = 1 + KG(s)$, obteniendo Γ .
- Definimos: P : polos de $F(s)$ en C ; Z : ceros de $F(s)$ en C ; N : vueltas de Γ alrededor del origen.
- Se cumple que: $N = Z - P$.

Diagrama de Nyquist

Nyquist hace un par de ajustes:

- Orienta C en sentido horario (para que ω crezca al recorrer C).
- Las vueltas son positivas en sentido horario.
- Mapeamos usando $G(s)$, por lo que las vueltas de Γ las cuenta alrededor del punto $-\frac{1}{K}$.

Diagrama de Nyquist

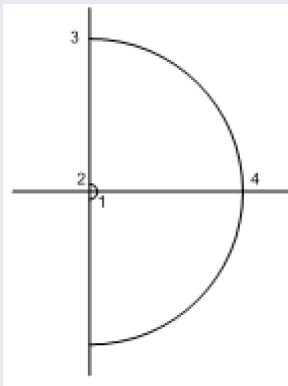


Criterio de Nyquist: Se tiene estabilidad en lazo cerrado si $Z = 0$, es decir, si el diagrama de Nyquist da P vueltas en **sentido antihorario** alrededor del punto $-\frac{1}{K}$.

Diagrama de Nyquist

Casos particulares

- La curva C no puede pasar ni por ceros ni por polos de $F(s)$.
- Si pasa por un cero de F , significa que existe ω_0 tal que $F(j\omega_0) = 1 + KG(j\omega_0) = 0$, \Rightarrow **inestabilidad** por polo en el eje (en lazo cerrado).
- Si hay un polo de F en el eje, hay que *esquivarlo*



Para mapear el tramo 1-2, evaluamos en $s = re^{j\theta}$, con θ variando entre 0 y $\pi/2$ y r tendiendo a 0 .

Lema de Kalman-Yakubovich-Popov

Lema de KYP

- Es un importante resultado de la década de los sesenta.
- Relaciona la respuesta en frecuencia de un sistema con su comportamiento dinámico en el tiempo.
- Proviene de los llamados sistemas **real positivos** y sistemas **pasivos**.

Matriz de transferencia real positiva

- $G(s) = C.(sI - A)^{-1}B + D$ es **real positiva** si

$$G(j\omega) + \bar{G}^T(j\omega) \geq 0$$

más otras condiciones técnicas.

- En el caso SISO: $re [G(j\omega)] \geq 0$, por lo que el Diagrama de Nyquist está contenido en el semiplano derecho.

Lema de Kalman-Yakubovich-Popov (KYP)

• Sea $Z(s) = C(sI - A)^{-1}B + D$ controlable, observable, A Hurwitz. $Z(s)$ real positiva si y sólo si existen: un número $\epsilon > 0$ y matrices $P > 0$, W y L de dimensiones adecuadas tales que

$$\begin{cases} A^T P + PA & = -L^T L - \epsilon P \\ PB & = C^T - L^T W \\ W^T W & = D + D^T \end{cases}$$

Para su demostración, ver: (Khalil, 1996), (Rantzer, 1996).

La matriz P va a estar relacionada con una función de Lyapunov.

Caso SISO: Nyquist de $Z(s)$ está en el semiplano derecho \Leftrightarrow El sistema de ecuaciones (matricial) tiene solución.

Lema de KYP

Ejemplo de uso

- Supongamos dadas unas matrices A , B , C y K , de dimensiones adecuadas y $D = 1$.
- Consideremos el problema de hallar $P = P^T > 0$, L y $\epsilon > 0$ tales que

$$\begin{cases} A^T P + PA &= -L^T L - \epsilon P \\ PB &= C^T K - \sqrt{2} L^T \end{cases}$$

- El problema tiene solución si la transferencia

$$Z(s) = I + KC(sI - A)^{-1}B$$

es estrictamente real positiva.

- Su Nyquist tiene que estar a la izquierda del eje imaginario!!

Resumen

Sistemas lineales

- Tienen una rica estructura, basada en el álgebra lineal.
- Funciones de Lyapunov cuadráticas
- Observabilidad y controlabilidad.
- Diseño de controladores estabilizantes y observadores asintóticos.
- LQR
- Lema KYP vincula la respuesta en frecuencia con las propiedades dinámicas en variables de estado.